

Title	X線廻轉撮影法の研究(第3報) 狙撃廻轉撮影法の理論的研究
Author(s)	高橋, 信次; 今岡, 睦麿
Citation	日本医学放射線学会雑誌. 1950, 10(2), p. 36-42
Version Type	VoR
URL	<a href="https://hdl.handle.net/11094/17104">https://hdl.handle.net/11094/17104</a>
rights	
Note	

*Osaka University Knowledge Archive : OUKA*

<https://ir.library.osaka-u.ac.jp/>

Osaka University

## X線廻轉撮影法の研究(第3報)

## 狙撃廻轉撮影法の理論的研究

高橋 信次

今岡 陸磨

青森醫學專門學校放射線科

## 目次

## 緒論

装置、撮影方法及び結果

## 考案

1. 所見を發見するためには管球廻轉範圍及び斷續角をどう選ぶか
2. 狙撃廻轉撮影像の判讀
3. 狙撃廻轉撮影法の吟味

## 結論

## 文獻

(本論文の要旨は第6回日本醫學放射線學會總會(昭和22年4月)において演説せり)。

本研究は文部省科學研究費の援助に負ふ、感謝の意を表す。

## 緒言

現在X線撮影を行つて診斷を行う場合にX線寫眞に所見がないからといつて該部位に病竈が存在しないとはいひ切れない。幸い所見を發見してもその所見の代表する病竈の體內に於ける位置、大いさ、形狀、等については何等確診しないのが普通である。更に假令此等が可成明瞭となつても、その診斷にどれ丈確實性があるかとの吟味が缺けている。

X線診斷學における此等の缺點を少なくする爲に狙撃廻轉法は役立つと思う。余は此の論文において此の法の理論的考究を行つた。

## 撮影装置、方法、及び撮影結果

撮影装置は前報告で既述した余の考案設計になる廻轉撮影機である。

撮影物體は臺上に固定した儘で動かさず、その代り管球、フィルムを同時に廻轉軸を中心として

互に逆の方向に廻轉させて撮影するのである。管球の位置管球焦點～廻轉中心を結ぶ線が水平をなす場合を $0^\circ$ とし鉛直をなす場合を $90^\circ$ とし角度計によりて正確に讀むことができる。

X線撮影をなし次に再びX線撮影をなす間に管球が廻轉する角度を斷續角といふ。

フィルムは管球廻轉と聯動して直上に貼られた鉛板の下を移動し、鉛板細隙にて次々とX線に露出される。

物體は略々廻轉中心に在らしめその長軸を廻轉軸に平行に横たえる。

管球焦點～廻轉中心間距離 81.5 cm, 廻轉中心～フィルム間距離 17 cmであつた。

撮影條件は管球電壓 60 KV, 管球電流 8 A, 1秒とした。

撮影されたX線寫眞は斷續廻轉寫眞の如く數個のX線帯が次々と連続し中央には廻轉軸を意味する基準線が走つている。今行つた13の實驗につき簡單のために撮影物體、その最初の位置、管球廻轉範圍、斷續角、得られたX線寫眞の所見、及び結論の順に列挙することにする。

實驗第一：物體は鉛製直方體、その横斷面は正方形でその對角線の長さは3.5 cmである。正方形の一邊で撮影臺上に横たえる。

廻轉範圍、 $45^\circ \sim 105^\circ$  斷續角  $20^\circ$ 。

撮影結果、横顔像が直線をなすが如き幅4 cmのX線像、管球廻轉につれ此の幅は縮小し、 $85^\circ$ では3 cmとなり更に管球が廻轉すると今度は像の幅は逆に大きくなる。(第1圖)

實驗第二：物體は鐵製圓筒、その外徑は3.5 cmである。

廻轉範圍,  $45^{\circ} \sim 105^{\circ}$ , 斷續角  $20^{\circ}$ .

撮影結果, 横顔像が直線をなす幅4 cmのX線像, 此の幅は管球廻轉に關係なく常に同一である(第1圖).

實驗第一と第二のX線像を比べると管球位置が $45^{\circ}$ の場合には兩物體とも全く同一なるX線像を與えた.

結論: 單純X線寫真から物體の立體的構成を知ることが出来ない. 多數のX線撮影を行つて見てもそれ丈では物體横斷面を知ることは困難である(寫真第1圖).

實驗第三: 物體は鉄力製圓筒. 圓筒輪廓の一部は $80^{\circ}$ の方向を向いた平面より成る.

廻轉範圍,  $60^{\circ} \sim 100^{\circ}$ , 斷續角  $10^{\circ}$ .

撮影結果, X線像の横顔像は何れも直線であるそのうちの側は常に邊緣部が最も濃く内方に向つて次第に淡くなつてゐる.

此は物體輪廓が曲面をなしているからである. 他側は此と趣を異にし濃い均等なる帶狀陰影が横顔像をなしている.

此は管球廻轉が $60^{\circ} \sim 80^{\circ}$ と進むにつれ次第に狭小且つ濃厚となり次いで $80^{\circ} \sim 100^{\circ}$ と進むにつれ次第に擴大して淡くなる. 此は此處で物體輪廓が平面をなしているからである.

結論: 物體が輪廓の部分のみが特にX線吸収率の高い物質より成る場合は物體が曲面より成るか平面より成るかは横顔像より判定できることがある.

實驗第四: 物體は石膏製圓柱. 此の圓柱には柱軸に平行に $180^{\circ}$ の方向に小突出を附す.

廻轉範圍,  $30^{\circ} \sim 150^{\circ}$ , 斷續角  $20^{\circ}$ .

撮影結果, 横顔像は兩側共直線をなし,  $30^{\circ} \sim 70^{\circ}$ 迄は何等變化はないが,  $90^{\circ}$ にはその横顔像の側に暈のある直線をなす横顔像が加重され $110^{\circ}$ で最も大きく $130^{\circ}$ では小となり $150^{\circ}$ で消失する. その間本來の横顔像は特に不規則な凹凸の経過を示さない.

結論: 物體に小突起があるか否かは規則的に起伏する横顔像より判定出来ることがある. 然しその横斷面における形状は不明である.

實驗第五: 物體は鉄力製圓筒. 圓筒軸に平行して $-98^{\circ}$ の方向に凹陷がある.

廻轉範圍,  $-30^{\circ} \sim 130^{\circ}$ , 斷續角  $20^{\circ}$ .

撮影結果, 横顔像は直線をなす. X線像の内部に濃いX線帯がありそれは廻轉角度の進むにつれその大きさ及び位置を變ず.  $-30^{\circ}$ では此のX線帯が横顔像となつてゐる. 此は $70^{\circ}$ では最も狭小濃厚となりX線像内部に含まれる.

此より廻轉が進めば再びX線帯は廣く淡くなる $90^{\circ}$ では更に他の場所に一つのX線帯があらわれ廻轉につれ幅を増してくる.

結論: 輪廓が特にX線吸収率の高い物質より成る物體の一部が凹陷している場合は横顔像及び正面像の移動狀況より凹陷の存在を判定出来る.

實驗第六: 物體は石膏製圓柱, 柱軸の一部に $180^{\circ}$ の方向の凹陷がある.

廻轉範圍,  $30^{\circ} \sim 140^{\circ}$ , 斷續角  $10^{\circ}$ .

撮影結果, 横顔像は直線をなす.  $30^{\circ}$ ではそのX線像の内部に陰影缺損を包含し, 此は廻轉につれ移動し $70^{\circ} \sim 90^{\circ}$ で不鮮鋭なる横顔像となり次いで $100^{\circ} \sim 140^{\circ}$ では再び圓柱のX線像に包含さる.

結論: 均質なる物體に凹陷の在る場合は横顔像及びX線像内陰影缺損の移動狀況より其を判定できることがある.

實驗第七: 物體は石膏製塑像, 此は三つの柱體の積み重ねより成り, 中段の柱體は略と圓形である. その上下の柱體は卵形でその長軸は互に $45^{\circ}$ の方向に交わる. 中段の柱體は上下の柱體にはさまれているが凹陷形成はない.

下方卵形柱體の柱軸が水平である如く置く.

廻轉範圍,  $50^{\circ} \sim 130^{\circ}$ , 斷續角  $20^{\circ}$ .

撮影結果,  $50^{\circ}$ では横顔像は直線をなす.

$70^{\circ}$ では横顔像上段が突出す.  $90^{\circ}$ では上段のみならず下段も凸出するが中段は其の儘結局全體の横顔像としては凹陷廻を呈す $110^{\circ}$ では上段突出が退行して中段と共に直線をなし下段のみ凸出する故凹陷像でなくなる.

結論: 物體に凹陷はなくともX線寫真に凹陷像を呈することがある.

實驗第八: 徑10 cmのアルミニウム圓筒に $80^{\circ}$

の方向に徑3.3 cmの鐵製圓板を貼付す(第2圖)。

廻轉範圍,  $100^{\circ} \sim 10^{\circ}$ , 斷續角  $10^{\circ}$ 。

撮影結果, 圓板の大きいさは  $90^{\circ} \sim 70^{\circ}$  ではその大きさが殆んど變らないが  $40^{\circ} \sim 10^{\circ}$  となるにつれ急速にその圓板の幅は減少す。即ち

管球焦點位置

$100^{\circ}$ ,  $90^{\circ}$ ,  $80^{\circ}$ ,  $70^{\circ}$ ,  $60^{\circ}$ ,  $50^{\circ}$ ,  $40^{\circ}$ ,  $30^{\circ}$ ,  $20^{\circ}$ ,  $10^{\circ}$ 。

圓板面積

12.08cm, 12.5, 12.1, 11.5, 10.7, 8.1, 6.3, 4.1, 2.3, 0.95。

結論: X線寫眞でよい正面像を得るには斷續角は  $10^{\circ} \sim 20^{\circ}$  でよい。

實驗第九: 物體はバリウムを塗つた二木片による平面間隙木片の高さは3 cm, 間隙幅0.26 cm, 間隙の方向は略と  $95^{\circ}$ 。

廻轉範圍,  $75^{\circ} \sim 105^{\circ}$ , 斷續角  $5^{\circ}$ 。

撮影結果,  $75^{\circ} \sim 85^{\circ}$  迄は間隙は見られぬ。  $90^{\circ}$  で小間隙出づ間隙平面の横顔像は鮮鋭でない  $95^{\circ}$  で間隙は最も廣く且つ間隙を形成する二平面は極めて鮮鋭濃厚なるX線像を呈す。  $100^{\circ}$  で間隙は狭くなり  $105^{\circ}$  では消失す。

結論: 平面間隙をX線像に出すには或る一定度以上小さい斷續角を選ばばよい(第3圖)。

實驗第十: 物體はバリウムを塗つた二木片の平面間隙。木片の高さは3 cm, 間隙幅は0.3 cm。

廻轉範圍,  $82^{\circ} \sim 98^{\circ}$ , 斷續角  $30^{\circ}$ 。

撮影結果,  $82^{\circ}$  にて既に間隙像は見られるが狭い。間隙を形成する平面は鮮鋭ではない。其が管球廻轉が進み  $87^{\circ}$  では間隙は最も廣く、且つその間隙平面は最も鮮鋭である。その間隙幅は0.36 cmである。更に廻轉が進むと再び間隙は狭くなり平面は暈けてくる。

結論: 平面間隙を直接X線像として出すには或る一定度以上小さな斷續角が必要である。

實驗第十一: バリウムを塗つた二木片の曲面間隙其の曲面は連續曲面でその切面は  $40^{\circ}$  より始まり  $95^{\circ}$  に終つている。

曲面の凹面は  $0^{\circ}$  の方向に凹である。凸面の一部に鉛標を附す。

廻轉範圍,  $0^{\circ} \sim 180^{\circ}$ , 斷續角  $5^{\circ}$ 。

撮影結果,  $40^{\circ}$  より間隙像は明瞭となり  $95^{\circ}$  迄続く。鉛釘は  $55^{\circ}$ ,  $60^{\circ}$  では凸面横顔像の一部に認められる。

凹面横顔像は  $40^{\circ}$  より明瞭となり  $95^{\circ}$  迄続く。

結論: 曲面間隙は曲面の切面が狭む角度  $95^{\circ} \sim 40^{\circ}$ , 即ち  $55^{\circ}$  を斷續角とすれば撮影される。曲面間隙の横顔像を得るには併し更に小なる斷續角例えば  $10^{\circ}$  で撮影すればよい。

實驗第十二: 鉛製文字, 男, 女, が夫々廻轉中心より1.5 cm離れて管球焦點一廻轉中心を結ぶ線上に位置している。

廻轉範圍,  $80^{\circ} \sim 200^{\circ}$ , 斷續角  $5^{\circ}$ 。

撮影結果, 男女は次第に接近し  $90^{\circ}$  にて合體し基準線上に在り  $100^{\circ} \sim 135^{\circ}$  と次第に離れながら男は基準線の右方女は左方に移動す。  $135^{\circ}$  で最も相離れ3.0 cmとなり男女とも基準線より最も遠くその距離は1.8 cmである。次いで  $135^{\circ} \sim 180^{\circ}$  で再び近づき始め  $180^{\circ}$  にて男女は合體す。

結論: 物體の位置はX線像で基準線より最も離れた距離が物體一廻轉中心間距離を表わし、廻轉當初より其迄に要した廻轉角丈前方に存在する。即ち物體の位置は廻轉中心を基點とし廻轉角及び物體一廻轉中心の二因子によりてあらわされる。

管球焦點と廻轉中心を結ぶ線で此と直角なる線に關して物體が焦點より遠く若しくは近くに位置するかによりてこのX線像の基準像よりの移動は全く逆になる。

### 考 按

狙撃廻轉撮影法は在來のX線検査法では見逃がされる様な所見を發見出来るのみならず、其等の所見を立體的に考量出来るのであるが、此の法を行う爲には管球廻轉範圍及び斷續角をどの様にとつて撮影を実施したらよいか、斯くして得たX線寫眞を判讀するにはどうしたらよいか、更に此の法は在來のX線検査法と異なるどの様な利點があるかに就き考按を重ねてみよう。

1) 所見を發見するためには管球の廻轉範圍及び斷續角をどう選ぶか。

一方向單純撮影では所見が存在しているのに不

拘、比を見逃がすのはその所見がX線に不透明な器官と重複して撮影されているか、又はそれがX線に透明な器官と共に粉れ易い状態で重複撮影されているからである。

前者の場合には二つのX線像を分離させるか、若くは横顔像とすればよいし、後者の場合には所見を最も観察され易い状態、若くは正面像とすればよい。

所見が関節である場合は間隙を矢張り横顔像として撮影すればよい。

此の爲には管球廻轉範圍は $0^\circ$ より $190^\circ$ とすればよく<sup>2)</sup>、斷續角は出来る丈小さくすればよい<sup>2)</sup>、<sup>3)</sup>。

然し費用の低廉、操作の簡便という見地よりすれば、管球の廻轉範圍はなる可く小にして、斷續角はなるべく大にした方がよい。

#### イ) X線像の分離及び横顔像:

2個の物体を $0^\circ$ より $190^\circ$ 迄廻轉撮影を行つた場合、その物体が獨立している場合は二X線像は何處かで分離する<sup>3)</sup>(法則19)。

二物体の一方が他方に含まれている場合には二X線像は分離することはない<sup>3)</sup>(法則20)。

2個の物体が互に外接している特殊な場合はX線像の横顔像としている状況がみられる。

此の際管球の廻轉範圍は解剖學的知識若くはその他からきめ得ることが普通である。

物体が廻轉中心より半径10cmの圓内に在る如き大きさで且つ物体の横斷面輪廓に2cm以下の直線を含む場合斷續角を $10^\circ$ で行ふと實物と此のX線寫眞から判斷する輪廓との誤差は最大1mm以下である。物体が更に小であり、その輪廓が曲線で圍まれている場合は此の誤差は更に小となる(X線廻轉撮影法第1報参照)。

従つて人體器官の分離像若くは横顔像を得るためには斷續角は通常 $10^\circ$ で充分である。

正面像: 一般に余等が觀察する平面は單純な1個の平面でなくて複合平面であるか、或いは無数の平面の複合即ち曲面の場合が多い。其れ故廻轉範圍は少くとも此等複合平面若しくは曲面の曲率よりは大でなければならぬ。

斷續角をどの大きさにするかは個々の單純一平

面について考えればよい。

面積Dの平面が略々廻轉中心附近に在り且つ管球焦點—鉛細隙の平面で此を切るとフィルム面に $\theta$ 丈傾いている場合はその平面のX線像即ちフィルム面への投影面積は $K \cdot D \cdot \cos\theta$ となる(Kは焦點物体フィルム間の距離による擴大率)。

正面像とは $\theta=0$ の場合の平面のX線寫眞である。 $\cos\theta$ は $\theta$ の値が $\theta$ の近邊では減少率が最も少なく約 $10^\circ$ 置ききの斷續角では平面縮少の度合は $1/100$ 以下であり $20^\circ$ の斷續角では $1/20$ である。

即ちX線像と實物との誤差が $1/20$ で満足できるなら $20^\circ$ の斷續角で充分である(實驗第九)。

間隙像: 次に物体が2個ある場合、此を2個として認めるためにはX線像を互に分離させる必要がある。此の分離した間隙が間隙像である。此の際間隙として認められる範圍即ち廻轉範圍は二物体の横斷輪廓に内切線を引いた場合、その狭む角の余角に相當する角度である<sup>3)</sup>。

斷續角をきめるため間隙像の特別の場合なる平面間隙を考えてみる。

二物体が同大の平面で接し、その平面の長さr、間隙の幅はqであり、間隙の形成する矩形の對角線のなす角を $\alpha$ とすれば、

$$\tan \frac{\alpha}{2} = \frac{q}{\frac{p}{2}} \quad \text{即ち} \quad \alpha = 2 \tan^{-1} \frac{q}{p}$$

なる關係がある。

二物体が夫々此の様な平面間隙に切する様な位置にあれば斷續角は $\alpha$ でよい。

実際には此のp及びqは解剖學的に略々既知であるから $\alpha$ は計算で定まる。

即ち此の $\alpha$ 角の斷續角で廻轉すれば必ず間隙が撮影されることが判る(實驗第十)。

此の間隙の幅をX線寫眞に直接に其の儘撮影するには管球焦點の位置が間隙平面の延長線上の範圍内に在る様にすればよい。

計算によれば管球が此の範圍内に在れば間隙の幅は常に一定に撮影されることが判る。

此の範圍内を管球が移動する角度即ち廻轉角は

管球が間隙を見込む角度の2倍である。

此の角度を $\varphi$ とすれば $\tan \varphi$ は平面間隙幅を $q$ と管球焦點—平面間隙間距離を $r$ とすれば $\tan \varphi = \frac{q}{r}$  即ち $\varphi = \tan^{-1} \frac{q}{r}$  依つて平面間隙の幅を直接明確にX線像で知るためには $2\varphi$ の斷續角で狙撃撮影をなせばよい(實驗第十一)。

此の間隙をなす平面の横顔像の吟味は一般横顔像に準じて考えればよい。

次に互いに凸凹の曲面で接する如き間隙の場合曲面上に最初に接したX線が管球の廻轉につれ曲面上を移動して $\theta$ 角後に曲面の最終端に至るものとすれば廻轉範圍は $\theta$ でよい(實驗第十二)。

然し此の曲面の全領域にわたつて間隙像並びに横顔像を知るためには横顔像の項で述べたと同じ理由で斷續角は約 $10^\circ$ とすればよい<sup>2)</sup>。

次に管孔の如き場合は如何というに管孔は結局その管孔が眞直くなる場合は平面間隙、曲つている場合は曲面間隙が縦横に組合せになつたものと考えられるから縦横の兩方面より前述した如き廻轉範圍及び斷續角にて狙撃廻轉撮影をすればよい。

## 2) 狙撃廻轉撮影像の判讀

X線像から物體の立體的狀況、即ち位置、大きさ、形狀構造等を知るには次の如く此のX線寫眞を判讀する。

位置：物體の位置を知るには物體の在る高さにおける横断面を考える。

物體の位置は此の横断面で極座標に準じて決定する。

極座標においては平面内の點の位置は、極、首線、動徑、及び偏角により定まるが、狙撃廻轉寫眞では、廻轉中心、撮影當初における管球焦點と廻轉中心を結ぶ、所謂中心線、X線像が基準線より最も離れた場合の距離、物體が撮影當初の位置より基準線と重なつた位置に撮影されるに要した廻轉角(此は負の値をとる)が、極、首線、動徑、偏角に相當する<sup>3)</sup>(實驗十三)。

量：物體の量は連続せるX線寫眞のX線像の幅の廣狹の推移から、その物體の横断面の大きさが略々判るからそれと此のX線像の高さを考え合

せると推知することが出来る。

形状：物體の形狀を横顔像、正面像、間隙像に分けて考えれば狙撃廻轉撮影を行うと横断面輪廓の形狀を知り得ることがある。例えば物體横断面輪廓に平面を含む場合(實驗三)小突起ある場合(實驗四)凹陷のある場合(實驗五、六)等である。然し一般には横顔像より物體横断面を直ちに推定することは不可能で此は實驗一及び二の示すとおりである。

次に間隙像の判讀であるが平面間隙の眞の幅を知るには豫めその目的で撮影した微細斷續角による廻轉撮影の場合はX線寫眞から直ちに間隙幅を読み得るが(實驗第十一)、一般にはX線寫眞の見掛の間隙に一方の平面の投影像、即ち量を加えたものをもつて細隙の幅と考えればよい。

尙此の加える可き量はなる可く鮮鋭に撮れたものを用いる(實驗第十)。

2個の凸凹曲面が作る間隙のX線像は明瞭なる二線がみられる。

此の二線は夫々その一方に量を持つている。

間隙の幅は凹面は内側の濃い線凸面は外側の濃い線を目印として其間の距離を計測した値である(實驗第十二)。

## 3) 狙撃廻轉撮影法の吟味

狙撃廻轉撮影法の特長はX線像の判讀に當つて物體と廻轉軸と廻轉角との關係を考慮に入れることが出来るので在來の他のX線検査法に比し遙かに精密な診斷を下すことができる。

即ち單純撮影法では物體の横断面輪廓は勿論物體の縦の輪廓の判斷も正確に行い得ない。

例えば物體には凹陷等はなくてもX線横顔像には凹陷がみられる場合がある(實驗第七)。

又單純撮影で單純平面の正面像を得るのは困難なるのみならずそれが複雑平面、曲面の場合は不可能である(實驗第八)。

同様にして間隙像を適當に撮影するのも困難である(實驗九、十、十一)、余の方法では此等の撮影が合理的に行い得るのみならず逆に余の方法で撮影するに不拘所要のX線像としてあらわれない場合は其處には或る一定の誤差の範圍内で疾患若

しくは異常はないと考へてよいわけである。

單純撮影で所要の正面像，横顔像若くは間隙像を得るためには在來は物體を廻轉しながら透視を行つていた。

然し透視によるX線像は對比度も悪く記録も出来ない更に物體廻轉が合理的でないからX線像から物體の位置，形狀を正確に歸納できない。

更に實際問題として自由に透視の出来る身體の部分というものは案外少いのである。

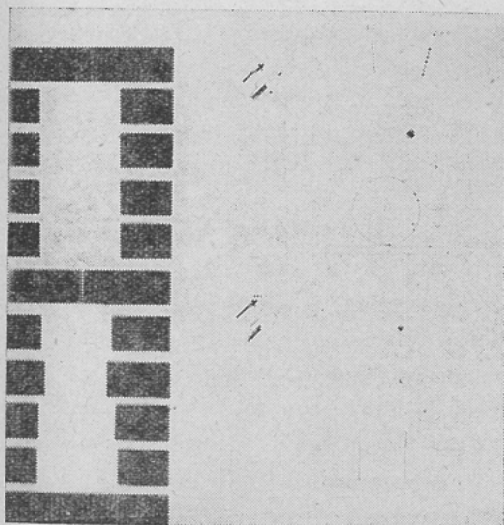
物體を立體的に觀察するため立體寫眞法，立體透視法が提唱せられるが此は感覺的に立體感が得るという程度だと余は考へている。

流動廻轉撮影法，斷續廻轉撮影法は物體横斷面形狀を知る唯一の方法であるが，此等では物體の縦の方向の變化は簡單には知り得ないのである。余の狙撃廻轉撮影法は操作も簡單で且つ費用も少額で済むから用いるに足る方法だと考へている。

### 結 論

1. 余は廻轉撮影法の一種としての狙撃廻轉撮影法を提唱し模型により13の實驗を行つてその方法，撮影結果及び理論の研究をなした。

第1圖 横 顔 像



鐵製圓筒(實驗第二)

鉛製直方體(實驗第一)

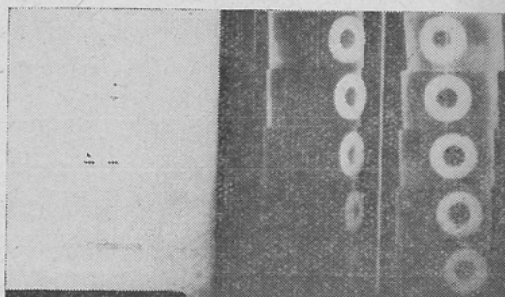
鐵製圓筒は投影方向の如何に不拘X線像は同様であるが，鉛製直方體はX線像の幅が變化する

2. 狙撃廻轉撮影法とはX線撮影を一定の計畫に従つて組織的に行う方法であつてこれにより新しい所見の發見は容易となり，且つその所見の位置，形狀，大いさ等を立體的に知り得る。且つ撮影結果に誤差の限界を與えることが出来る。

### 文 獻

- 1) 廻轉撮影法，第4回日醫放總會(昭和19年3月)出題，古賀良彦，松川明。— 2) X線廻轉撮影法の研究(第一報)，斷續廻轉撮影法の理論的研究，高橋信次，日本醫學放射線學會雜誌(掲載豫定)。— 3) X線廻轉撮影法の研究(第二報)，流動廻轉撮影法の理論的研究，高橋信次，日本醫學放射線學會雜誌(掲載豫定)。

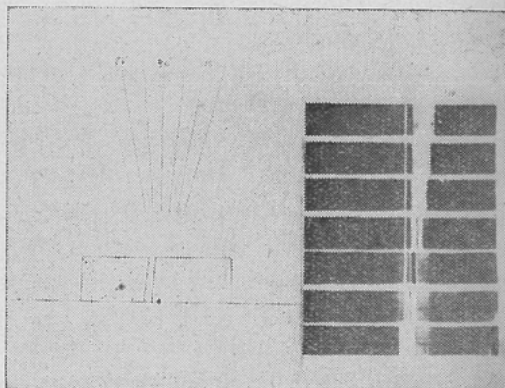
第2圖 正 面 像



アルミニウム圓筒上の鐵製圓板(實驗第八)

100°より10°の廻轉範圍を10°の斷續角にて撮影せるもの右上より下方へ，次いで左上より下方へ各投影方向の10枚のX線寫眞にて鐵製圓板は80°にて正面像をなす

第3圖 平 面 間 隙



バリウムを塗つた二木片(實驗第九)

90°，95°，100°の撮影方向にて平面間隙みられるが，95°にて最も鮮銳に撮影せられてゐる

Studies on the Rotatography 3. Report.  
Theory on the Round Sight Rotatography (A Summary)

By

Shinji Takahashi & Mutumaro Imaoka

(Department of Radiology, Faculty of Medicine,  
Hirosaki University; Director: Prof. S. Takahashi).

1) Round Sight Rotatography will enable practitioner to catch new findings of the focus and to get the three dimensional knowledge of their conditions comparatively easily.

2) To catch new findings the rotatography is performed intermittently with the rotation-angle set beforehand as follows:

a) To make clear the contour of an organ in the profile image, the rotation-angle is to be set  $10^\circ$ , while to get the findings sharp in the on face image the rotation-angle is to be set  $20^\circ$ .

b) To take the sharp roentgenograms of the joint (or of any fissure formed of two planes the rotatography is to be operated with the rotation-angle:

$$a = 2 \tan^{-1} \frac{q}{p}$$

p: height of the joint surfaces.

q: distance between the two surfaces of the joint.

c) To make clear the conditions of the spheroid joint the roentgenograms must be taken with the rotation-angle  $10^\circ$  in all the area of the curvature of the joint surface.

3) In order to have the three dimensional knowledge of the focus, the image should be interpreted as follows:

a) The position of the focus is determined as the polar coordinate. Here the pole is represented by the rotationcenter; the radius vector, by the longest distance between the standard line and the image. And in order to determine the vectorial angle take the one cut film among the serial roentgenograms in which the concerned x-ray images intersects the standard line, that is rotation axis. Then the angle with which the film is photoed is the vectorial angle.

b) The volume of the focus is judged roughly from the breadth of the x-ray images of the serial roentgenograms.

c) The shape of the focus (especially in its transsection) is not determined exactly from the rotatograms. Only in the case that the object formed a plane or has either a concavity or a small convexity on its contour, the shape can be concluded.

d) The relation between two objects in the body can be known from the relation between the concerned two x-ray images. If one x-ray image never separates from the other throughout the serial roentgenograms, the object represented by the former is contained in the object represented by the latter. If the two x-ray images separate from each other at any cut film of the serial roentgenograms, the two objects exist separately.

4) In Rotatograms taken by this method the error of missing the focus in the human body is considered to be less than 1mm in size.